

化 学 分 析

第三輯

胡振元 主編

上海市科學技術編譯館

化 学 分 析

第三輯

胡振元 主編

*

上海市科學技術編譯館出版
(上海南昌路59號)

新华书店上海发行所发行 各地新华书店經售

上海市印刷六厂印刷

*

开本 787×1092 1/16 印张 6 字数 190,000
1965年1月第1版 1965年1月第1次印刷
印数 1—7,000

編 号：66·248
定 价：0.80 元

2k579/69

目 录

| | |
|--------------------------------|----|
| 1. 塑料中增塑剂的快速微量定性和定量气-液层析法..... | 1 |
| 2. 低揮发性物质的热解气-液层析鉴定..... | 7 |
| 3. 用气体层析法分析微量杂质..... | 12 |
| 4. 气体层析用的气体密度檢定器..... | 21 |
| 5. 用热导檢定器的毛細柱气-液层析法 | 26 |
| 6. 高温气-液层析 | 29 |
| 7. 气体层析的定量問題..... | 37 |
| 8. 气体层析法的准确度..... | 43 |
| 9. 气体层析用的担体材料..... | 58 |
| 10. 气体层析法所用担体材料的評价..... | 67 |
| 11. 关于固定液..... | 71 |
| 12. 近三十年来发光分析的进展..... | 82 |
| 13. 远紫外光譜在分析上的应用..... | 85 |

210577 69

1. 塑料中增塑剂的快速微量定性和定量气-液层析法

Fast Qualitative and Quantitative Microanalysis of Plasticizers
in Plastics by Gas-Liquid Chromatography

Jarier Zulaica, George Guichon

增塑剂常用以改进塑料或弹性体的柔韧性、工作性能和伸展性。其中比較重要的有脂族二羧酸酯(草酸酯、丁二酸酯、己二酸酯、辛二酸酯和癸二酸酯)，邻苯二甲酸酯和磷酸酯以及脂族 C₁~C₁₀ 醇类(其中主要是正丁醇和 2-乙基己醇)所形成的酯类。这些化合物的分析必須用含有百分之几到高达 50% 增塑剂的加工材料来进行。

通常的化学分析法，包括有溶剂萃取，皂化以及酸和醇的鉴定，都是費时而且又很困难的。用质譜仪分析增塑剂的資料很少。紅外綫光譜法用于鉴定混合物中的主要組分非常有效，但此法与所有上述这些方法却对于辨别如邻苯二甲酸二正丁酯和邻苯二甲酸二正己酯，或辛二酸正丁酯和己二酸正己酯等极其类似化合物的混合物时，并不十分有效^[4,10,11]。可是，用此法时可以不需要长时间的萃取步骤。极譜法^[8]和熒光法^[2]到現在为止，只限于分析邻苯二甲酸的酯类，而且也是很費时间的。紙上层析法似不能获得良好的結果^[3,5,7,8]；其特效性也不足以进行直接鉴定，同时也不能給出足够的試样以供紅外光譜分析之用。柱上层析法能充分分离出大量試样，但进行很慢，又需要大量原料。气体层析法在理論上是可以用于分离和鉴定所有这些脂类的，但也有許多困难，且在最近以前，一直未对上述酯类进行过全面的研究。Bassmir^[1]进行过一些邻苯二甲酸酯的分析工作，可以作为气体层析法应用于分离高分子量化合物的例子。Lewis 和 Patton^[12]报道有关許多磷酸酯、邻苯二甲酸酯及类似化合物，在 283°C 用高含量 Apiezon k 短层析柱(30% 負載在 Celite 545* 上)的滞留数据。分析时必須用較多容量的溶质(10 微升)，这些組分的蒸气压低，使波峰因柱的超負載而有显著的領先現象。Cook 等^[6]用 25% 硅潤滑脂的极短层析柱(9 小时)，使邻苯二甲酸二丁酯、丁基苯基酯和二苯酯分离。

Zulaica 和 Guiochon^[15,16,18]曾討論用低含量层析柱来分析上述酯类。他們指出，用 0.5% 硅树

脂 SE 30 或聚己二酸新戊基乙二醇酯負載于曾用氫氟酸浸蝕过的玻璃珠上，在常压和 200~240°C 下，洗提沸点高达 400°C 的高分子量酯类是可能的。如果送入的試样很少(0.05~0.20 微升)，負載就不至很大。曾經对这些柱的性能，特别是滞留数据的重现性进行过研究。并得出从甲醇到壬醇与邻苯二甲酸，磷酸和二羧酸(草酸到癸二酸)所形成酯类的滞留体积和滞留指數。因为滞留指數与同系化合物中的碳原子数成綫性关系，所以可从这些数据导出一些简单的規律。因而有可能对整体中的增塑剂进行定性和定量分析。

本文将討論利用他們的工作来分析塑料中的增塑剂。上述酯类是外增塑剂，即溶解于塑料的大分子之間，而不是以任何形式与大分子結合的。这些酯类是不難用溶剂或加热进行萃取的。直到現在只用过这些方法中的前一种。这种方法麻煩而費时。現在叙述的方法不是用萃取，而是将几毫克塑料試样放在层析仪的注样部分，快速加热到足够高的溫度，使增塑剂在載气中蒸发。加热溫度不宜过高，以使增塑剂和其他塑料組分的热解可以降低至最小程度。

实 驗

仪器 所用的层析仪是 Perkin-Elmer 116E型，这是一种 154D 蒸气分餾仪，是德国**制造的型号。檢定器是热敏电阻热导池。

层析柱 在試驗中，使用两种层析柱，都是 4 毫米內徑，6 毫米外徑的銅管。一根长 2 米，內裝載有 0.5% 硅树脂 SE 30 的玻璃珠，玻璃珠在使用前先用濃氫氟酸浸蝕几分钟，再經洗滌和篩选(125~160 微米)后应用。另一根层析柱长 3 米，用 0.5% 聚己二酸新戊基乙二醇酯負載在浸蝕过的玻璃珠上。以氩为載气，流速每分钟約 60 毫升。玻璃珠处理和

* Celite 系硅藻土制品的商名——校者注

** 指西德——編者注

层析柱效率的詳情在其他文献中已有叙述^[18]。

热解装置 主要部分是焊接于两根銅絲上的鉑線圈，与热解聚合物用的鉑線圈非常相似^[18]。这种装置代替通常的硅橡皮帽連接于层析仪。鉑絲的直徑为 0.4 毫米，长为 35 毫米。線圈的外徑是 2 毫米，电阻为 0.02 欧姆。电流線路如图 1 所示。調节

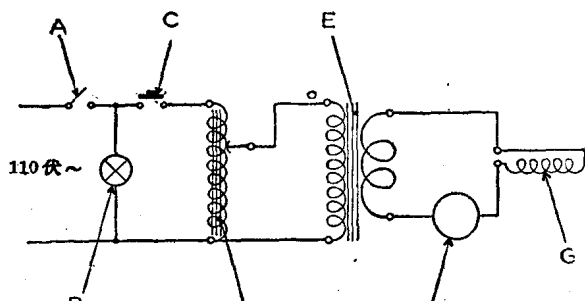


图 1 热解装置电路图

可变电压器到预定的数值，在电閘 C 关閉时，鉑絲中有一定的电流通过。热解时间由計时器，或者用時間轉換器控制，在常規分析时時間轉換器是十分适宜的。

可变变压器的校正，是在电閘 C 关閉后，用安培計 F 測出線圈上在沒有試样时可以得到的电流进行校正。在开始几秒钟后由于鉑的受热而使电阻增加，这时电流就显著地下降。

試料 这些酯类可由純淨的各該正醇类和酸类制成。

塑料試样可在加热到 160~200°C 的混合器中制备，所用塑料主要为聚氯乙烯 (PVC) Solvive 229 (法国，巴黎 Solvive)型。增塑剂及其所采用的比例如表 1 和表 2 所示。表中所列其他試样是一般工业品，并用通常的方法(萃取和紅外光譜)进行分析过。

表 1 定性分析所用物料

| |
|------------------------------------|
| PVC + 邻苯二甲酸二正丁酯 + 磷酸三正丁酯 |
| PVC + 邻苯二甲酸二正丁酯 + 奎二酸二正丁酯 |
| PVC + 邻苯二甲酸二正丁酯 + 奎二酸二正丁酯 + 磷酸三正丁酯 |
| PVC + 邻苯二甲酸二正丁酯 + 己二酸双(2-乙基己基)酯 |
| PVC 結晶管 + 邻苯二甲酸二正丁酯 |
| PVC 烧瓶 + 邻苯二甲酸二甲酯, 二乙酯 |
| PVC 透明薄膜 + 邻苯二甲酸双(2-乙基己基)酯 |
| PVC - 聚醋酸乙烯粒状共聚物 + 邻苯二甲酸二正丁酯 |

表 2 定量分析所用物料

| 参考号 | 塑料 | 增塑剂 | 邻苯二甲酸二丁酯% |
|-----|---------|---|-----------------|
| 1 | PVC | 无 | 0 |
| 2 | PVC | 邻苯二甲酸二正丁酯 | 5 |
| 3 | PVC | 邻苯二甲酸二正丁酯 | 10 |
| 4 | PVC | 邻苯二甲酸二正丁酯 | 20 |
| 5 | PVC | 邻苯二甲酸二正丁酯 | 30 |
| 6 | PVC | 邻苯二甲酸二正丁酯 | 40 |
| 7 | PVC | 邻苯二甲酸二正丁酯 | 50 |
| 8 | PVO | 邻苯二甲酸二正丁酯 { +10% 奎二酸二正丁酯 +10% 磷酸三正丁酯 } | 10 |
| 9 | PVO | 邻苯二甲酸二正丁酯 + 己二酸双(2-乙基己基)酯 | 15 |
| 10 | PVO | 邻苯二甲酸二正丁酯 + 奎二酸二正丁酯 | 7.5 |
| 11 | PVO | 邻苯二甲酸二正丁酯 + 磷酸三正丁酯 | 25 |
| 12 | PVO | 商品邻苯二甲酸二正丁酯 | 40 ^a |
| 13 | PVC+PVA | 商品邻苯二甲酸二正丁酯 | 20 ^a |

^a 溶剂萃取后用紅外分光光度法測定

操作手續 用有尖端的管子向待分析的产品中取样。选择好管子的适当内徑使試样很合适于鉑線圈，然后将試样称重。其平均重量約 5 毫克(表 3 和

表 4)。分子量較小的試样可用比較灵敏的檢定器和較細的热解線圈。将热解線圈旋接于层析仪上，再将試样插入，并将氢压調節到需要的数值，当基線

表3 邻苯二甲酸二正丁酯的定量校正

| 参考号 (見表2) | 邻苯二甲酸 正丁酯 試样 | 波峰高度 ^a (毫米) | 試样重量 ^a (毫克) | 每毫克試 样的峰高 (毫米) |
|--------------|--------------------|---------------------------|---------------------------|----------------------|
| 1 | 0.0 | — | — | — |
| 2 | 5.0 | 71.0 | 6.33 | 11.2 |
| 3 | 10.0 | 93.0 | 4.26 | 21.9 |
| 4 | 20.0 | 340 | 7.84 | 43.4 |
| 5 | 30.0 | 455 | 5.89 | 77.2 |
| 6 | 40.0 | 475 | 4.75 | 100.0 |
| 7 | 50.0 | 590 | 4.85 | 121.6 |
| 8 | 10.0 | 192 | 6.71 | 28.6 |
| 9 | 15.0 | 242 | 6.35 | 38.1 |
| 10 | 7.5 | 131 | 6.78 | 19.3 |
| 11 | 25.0 | 458 | 6.14 | 74.6 |
| 12 | 40.0 | 360 | 3.72 | 96.7 |
| 13 | 20.0 | 169 | 3.29 | 51.6 |

a 10个試样的平均值

表4 結果的重現性

| 峰高 (毫米) | 試样重量 (毫克) | 每毫克試样的峰高 (毫米) |
|------------|--------------|------------------|
| 31 | 3.95 | 78 |
| 12 | 5.52 | 90 |
| 48 | 5.65 | 85 |
| 54 | 6.15 | 87 |
| 56 | 6.22 | 90 |
| 54 | 6.45 | 83 |
| 57 | 6.45 | 88 |
| 71 | 7.40 | 95 |
| 69 | 7.62 | 90 |
| — | — | — |
| 平均 87 | | |
| 標準偏差 ± 4.9 | | |

趋于稳定时，接通电流 A （图1），将可变变压器 D 调节到需要的数值，关闭电闸 C ，使电流在预先选定的时间内通过铂线圈 G 。在安培计 F 上读取电流的数值。

这种系统最大的缺点在于第一步：在移开铂丝，清洁铂丝和插入新鲜试样及将装置重新装好以前，必须停止载气流动。基线要有几分钟时间才能重新趋于稳定。由于玻璃珠粒只能容许小量试样——小于 1.0 微升，因此仪器需要有最高的灵敏度，整个步骤需要 10 分钟。如果能足够地加热而不使高分子量酯冷凝，则用两个热解装置及一个旁通系统，可以大大缩短分析时间。这种系统亦可以防止大量空气进入层析柱，以及固定相逐渐发生氧化作用。这种氧化作用以及塑料本身热解而产生焦油的沉积，

都会使层析柱的性能改变，但应用了几个月之后，并未观察到滞留数据和效率有任何改变，也未看到热导池的敏感元件有变质现象。

結果

热解装置的校正 热解温度很难加以规定。温度的上升，在试样内是从中心向着表面；在铂线圈内是从两端向着中心；而铂丝上则从表面向着中心。这种温度的变化是值得十分重视的。一般热解都是在温度上升的动态情况下发生，无需足够时间就可以达到稳定状态。热解时间很少超过 10 秒钟。热解时，温度随时间而改变的研究工作，已另在他处发表^[17]。在这个研究工作中所必需的是在很明确条件下的重现性。试样所能达到的温度示于图 2。该图是温度对铂丝上电流的关系。第一条曲线是用下列方法得到的：将已知熔点的纯化合物的晶体插入线圈内，然后按热解塑料试样的同样方法进行，并将已知电流通过铂丝 10 秒钟，然后移去线圈，如果试样并未熔融，将电流增加 0.1 安培重新进行。如果已经熔融，将线圈洗净后，换入新的晶体，用小于 0.1 安培的电流重新进行。如上所述，这仅能得到大致温度。在同样条件下测定铂丝的电阻——不用试样，加热 10 秒钟后——与这条曲线极为符合（见图 2 第 2 条曲线）。系统的差别约 30°C，这是由于跨过铂丝的温度有系统的变化。在 800°C 下不能用光学高温计测定，在此温度以上，三种方法极为符合。但在本文中作者赞成用热解电流。

在塑料试样内溶解的全部增塑剂，在载气中足够快速蒸发时所需要的最低温度，大大地超过增塑剂显著热分解时的温度。但用这种技术仍能获得重现性相当好的结果。

图 3 示出同一产品不同试样的一系列热解数据。每一试样都进行两次热解，以测定初次热解后残留下来的增塑剂。用 5 安培电流时，由于第二次热解时酯的馏出峰与第一次同样高，所以试样只是不完全的挥发。用 7 安培电流（约 560°C）时，挥发也不完全，此时塑料本身已有显著降解现象。用 8 安培（约 625°C）时，塑料的热降解非常显著，在第一次热解后，已不能检出有痕量的增塑剂留下。电流在 8 安培以上，电流越大，增塑剂的馏出峰越低，说明增塑剂的热降解正在增加着。这种现象当然要看增塑剂而大有不同。Lewis 和 Patton^[12] 报道，邻苯二甲酸双-(2-乙基己基) 酯在层析仪的预热器内处于 580°C 时是十分稳定的；但间-苯二甲酸双-(2-

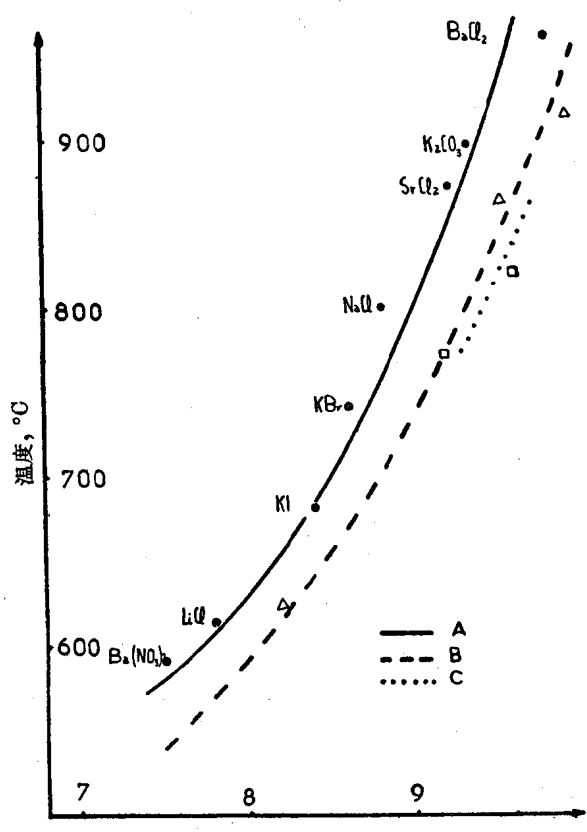


图2 热解温度与电流的关系

A: 盐类熔融 B: 铂丝电阻 C: 光学高温计

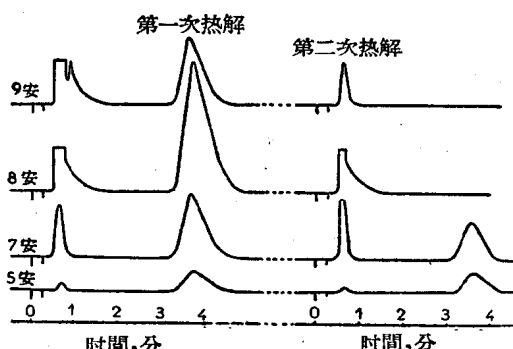


图3 热解电流对增塑剂(PVO 中邻苯二甲酸二正丁酯)回收的影响

乙基己基)酯却在440°C时就已有部分分解,所以在铂丝估计最高表面温度约为650°C时,已有一些增塑剂几乎完全分解。可是本文所研究的各种增塑剂(见表1)都没有发生分解。

用8安培左右的不同电流,在不同热解时间内进行了同样的试验。8安培电流和10秒或更长的时间,可以得到最好的结果,时间再长对所得到的层析图并不再有改善。

图4示出含有磷酸三正丁酯,邻苯二甲酸二正丁酯和癸二酸二正丁酯的聚氯乙烯试样的层析图,以及注入三种酯混合物所得到的相应层析图。如果溶质的量大致相同,注入液体混合物的馏出峰比热解聚合物所得增塑剂的馏出峰狭而高。热解的馏出峰稍有拖尾现象,而注入液体的馏出峰是高斯型的,当层析柱超负载时有领先现象。拖尾现象是由于注射需要5~10秒钟,而不是立即完成的。在这段时间中,增塑剂气化进入载气流的速度不稳定。两种注样系统所得的滞留数据的差别很少(见表5),这与实验参数(温度和流速)的良好稳定性有关。尽管在送入试样时要中断气体流速,但由于使用的是时节阀而不是调节阀,所以仍能获得稳定的流速。

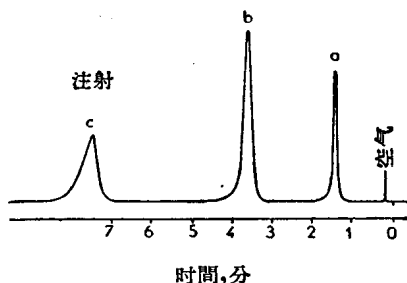


图4 非极性层析柱

下面曲线: 用(a)磷酸三正丁酯, (b)邻苯二甲酸二正丁酯和(c)癸二酸二正丁酯增塑剂的PVO试样的热解分析

上面曲线: 用通常针筒注射同样增塑剂混合物的分析

在本文所有的层析图中,可以看到,塑料本身热解时主要是形成洗提时间很短的低沸点化合物。层析柱的拖尾现象是由于其中有些化合物(主要是氯化氢)的极性和注样方法所致。因为没有检出高沸点化合物,所以对增塑剂并无干扰现象。

定性分析 主要困难在于得不到完全没有空气的馏出峰和不能在混合物中加入已知的标准物(如正烷烃)两点。所以必须用Wehrli和Kovats^[14]的方程式从滞留体积的对数来计算出滞留指数。

$$I = 200 \frac{\log V_N(nP_Z + 2) - \log V_N(x)}{\log V_N(nP_Z + 2) - \log V_N(nP_0)} + 100 Z$$

式中 I 是滞留指数， $V_N(x)$ 是物质 X 的绝对滞留体积， nPZ 是碳原子数为 Z 的正-烷烃 (Z 为偶数)。利用层析图上测出的增塑剂馏出峰的滞留时间来计算绝对滞留体积，最初时间取用热解时间的中段。层析柱气体体积的校正取自空气洗提时间与载气流速关系的校正曲线。表 5 示出一些增塑剂的滞留指数：其中第一行是根据以前叙述的规则计算得的数据^[15]；第二行是从注入液体纯化合物量得的数据；第三行是含有已知不同浓度增塑剂的塑料产品在热解时所测得的数据。后面两个数值之差在指数的 $\pm 1\%$ 以内。这等于用此实验技术得到一系列指数的相对标准偏差。当在增塑剂的整体或溶液中能加入正-烷烃时，可以得到的相对标准偏差为 $\pm 0.3\%$ ^[15]。

表 5 計算和測定所得滞留指数

| 化 合 物 | 計算值 | I_R 注样 值 | 热解值 | $\frac{I_R(\text{热解})}{I_R(\text{注射})}$ |
|-----------------|------|---------------|------|---|
| 邻苯二甲酸二甲酯 | 1457 | 1450 | 1469 | 1.9 |
| 邻苯二甲酸二乙酯 | 1587 | 1583 | 1594 | 1.1 |
| 邻苯二甲酸二正丁酯 | 1926 | 1932 | 1920 | -1.6 |
| 邻苯二甲酸双(2-乙基己基)酯 | 2482 | 2470 | 2496 | 2.6 |
| 磷酸三正丁酯 | 1663 | 1648 | 1633 | -1.5 |
| 癸二酸二正丁酯 | 2169 | 2150 | 2156 | -0.6 |
| 己二酸双(2-乙基己基)酯 | 2412 | 2391 | 2400 | 0.9 |

图 5 示出同样物料的试样，在两根层析柱上得到的层析图。这种曾用二酯类增塑过的聚氯乙烯，可以采用比较其在两根层析柱上的滞留数据来作出鉴定。

定量分析 如果在层析图上能够得到与其他馏出峰显然分离的馏出峰，则可用气体层析法进行定量分析。作者所用的层析柱是可使大多数通常的增塑剂分离出来的。大多数的塑料只含有一种到三种增塑剂。我们将用最重要的增塑剂邻苯二甲酸二正丁酯作为例子来进行讨论。

图 6 示出峰高对注入液数量的关系。在 0~0.8 微升之间是一直线，然后由于层析柱超负载关系，开始出现弯曲。最低检出量约为 0.002 微升。图 6 也示出峰高对热解时增塑剂量的关系。这些点是用作者实验室制备含有已知百分率邻苯二甲酸二正丁酯（有或者没有其他增塑剂）的试样获得的。这些混合物及其组成列于表 2。表 3 列出每种塑料 10 个试

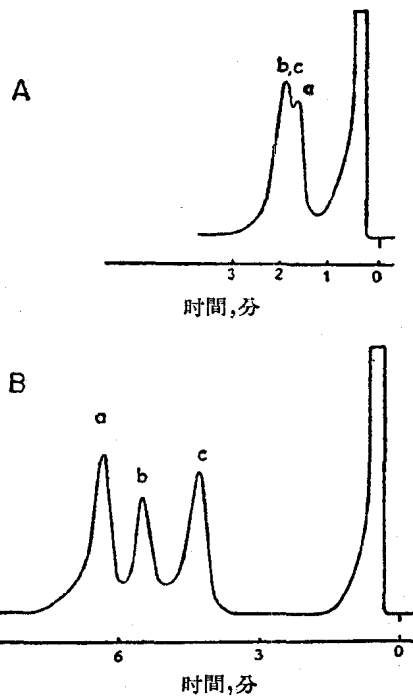


图 5 有增塑剂聚氯乙烯试样的分析

A: 非极性层析柱 B: 极性层析柱

a: 邻苯二甲酸二乙酯 b: 壬二酸二甲酯 c: 磷酸三正丁酯

样在热解时所得平均峰高。试样的平均重量和每毫克试样的高度大致与增塑剂的百分率成正比。分析的相对误差约为 5%。

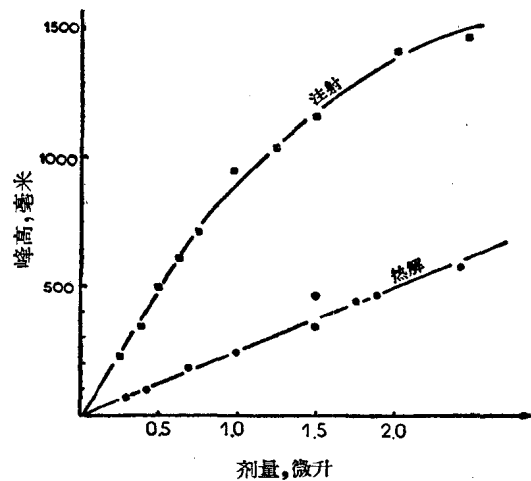


图 6 邻苯二甲酸二正丁酯的定量分析

峰高与用针筒注射或存在于热解塑料试样的增塑剂量的关系

表 3 指出其他增塑剂对洗提出的邻苯二甲酸二正丁酯数量没有显著影响。所得结果并不随塑料本身的性质而改变，许多聚氯乙烯和一些不同来源共

聚物的試样，在試驗中都获得同样結果。

定量測定时用峰高比峰面積好，因为液体試样在曲線的直線部分，峰面積的相互關係並不較好，同時在曲線部分，繪出峰也不是高斯型，而是有領先現象。如果不用積分儀，很难得到这个面積的正確數值。在熱解時由於一般會出現拖尾峰，因而引起同样困難。利用積分儀將會大大提高分析的精確度。

从圖 6 中可以看出，注入或由熱解引入同样數量鄰苯二甲酸二正丁酯，在峰高度方面會大有不同。如圖 4 所示，部分是由于峰形不同所引起，同样數量鄰苯二甲酸二丁酯增塑劑，注入時峰的高度比熱解時要高 2.1 倍。可是用面積儀測出的峰面積比只有 1.21。这种差別不可能來自加工製造時增塑劑的損失；因為損失 10% 以上是非常不可能的，而其真正

的組成是曾用溶劑萃取後再經紅外光譜法測過的。这种損失可能是由於增塑劑的熱解。如果確是如此，這就意味着試驗條件——鉑絲的粗細、注入部件的幾何結構等——可以對增塑劑真正注入層析柱的量，有極顯著的影響。

从表 4 可以看出，同样塑料 10 次測定的結果的相對標準偏差是 $\pm 5.5\%$ 。含有 7.5% 以上鄰苯二甲酸二正丁酯的試樣可以得到同樣的偏差。

用本文敘述的儀器。在半小時或更短的時間內，可以做一次分析；如果在技術上作一些改進，有可能在更短時間內完成分析。（參考文獻從略）

孙文溫譯 陳鈞鴻校

原文載于“Analytical Chemistry”
35, No. 11, 1724~1728 (1963)

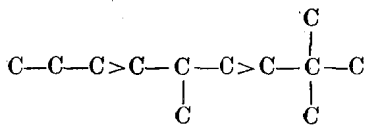
2. 低揮发性物质的热解气-液层析鉴定

The Identification of Substances of Low Volatility by Pyrolysis Gas-Liquid Chromatography

G. C. Hewitt, B. T. Whitham

分析工作者經常遇到聚合物及存在于天然与合成产物中許多复杂物质的鉴定問題。在大多数事例中，曾用某些降解反应試圖分离出这些物质的各別碎片，再由这些碎片的化学和物理性质来鉴定原来的物质。也就是说，由碎片特征所得到的迹象，結合对原来物质性质所具有的知識，导出对复杂物质的鉴定。

在聚合物质的研究中，曾广泛用到热降解法。远在 1862 年，威廉(Williams)^[1] 就曾用过热解法从天然生橡胶中分离出碱性异戊二烯。也有一些文章提到，热解法可以作为获得有关物质結構知識的一种方法。馬陶斯基(Madorsky) 和斯特罗斯(Straus)^[2] 曾研究了聚合物的热解机理，指出，热解产物的类型及其相对的含量与原来物质的分子结构及所含側鏈基团的种类和几率有关。例如，热解时所得到的裂解产物及其热稳定性是与聚合物鏈中 C—C 鏈的强度有关，即仲 > 叔 > 季。



在最近几年中，間接的“指紋”法已被用来和热解法相結合。例如，紅外光譜^[3]、质譜^[4,5]、已用于“指紋”鉴定各种聚合物的热解产物。这类方法常涉及編纂已知结构物质热解时所获得的对照譜图，通过这些譜線的对照可以鉴定出未知物。如果在給定条件下所得到的热解产物，对于每种物质类型是有其专一性的話，那么，这种方法一般是成功的。对于某些物质如綫型均聚物，如能选定其生成单体的热解条件，也有可能进行直接鉴定。

气-液层析法^[6]是分离少量揮发性物质的一种快速方法。自从問世以来，热降解法的用处就大有增长了。在气-液层析技术中，物质被惰性气流带經一个小小的填充柱，并能获得几乎理論塔板数的分离效率。柱填充系涂有非揮发性液体的一种粉状多孔性

的固体*。通常，分离工作在很大程度上要取决于各种物质的相对揮发性。但采用各种不同的非揮发性固定液相，可使不同类型物质的分离次序产生显著的差异。最近几年来^[7,8]，由于采用了可以在 300°C 以内温度下操作的柱，使气-液层析的范围扩大到分离沸点高达 500°C 的物质。但当它进一步应用于更低揮发性物质时，即遭到了一定的限制，这是由于，在分析此类物质所需要的高柱温下，还缺乏合适的固定相以及物质可能发生分解。热解法与气-液层析法相结合，可为这类如此低揮发性物质的分析提供了另一途径。气-液层析法具有如下的重要特点，使它和热解法相结合而成为一种卓越的分析技术：(1) 热解产物可以迅速分离；(2) 分离情况易于自动記錄；(3) 仅需几毫克試样；(4) 可用滞留时间(每种組分通过层析柱的时间)来鉴定热解产物中的每一組分；(5) 可从柱出口处收集热解产物的馏份以供进一步鉴定之用；(6) 热解产物层析图本身具有“指紋”作用，可以象紅外光譜一样用于鉴定目的；(7) 热解装置可直接装在层析柱的进口处(这点是很重要的，因为热解产物一經生成即能隨載气流进入层析柱；这样，可使热解的最初产物很少有重新再結合的机会)。

应 用

聚合物的鉴定

热解与气-液层析相结合的最早期工作，是将样品进行热解，在冷阱中收集产物，然后再移入层析柱进行分析。戴維森(Davison)，斯倫尼(Slaney) 及烏拉格(Wragg)^[9] 将这原理用于分析天然橡胶，丁二烯与丙烯腈或者丁二烯分别与苯乙烯、聚丙烯酸甲酯、聚异丁烯、聚醋酸乙烯酯以及聚丙烯酸乙酯的共聚物。热解是在 650°C，常压，氮气流中进行。产物收集后，在用邻苯二甲酸二壬酯为固定液的柱上

* 应称为担体——譯者注

以气-液层析法进行检验，操作温度为111°C。对于在此柱温下有足够的挥发性的产物，曾获得“指纹”层析图。

之后，哈斯兰姆(Haslam)与齐佛史(Jeffs)^[10]解聚了甲基丙烯酸甲酯与苯乙烯、丙烯酸甲酯与甲基丙烯酸乙酯的共聚物。解聚反应在350°C的真空中进行，在这些条件下曾获得单体，并借助滞留时间对它们进行了鉴定。

雷德尔(Radell)和史特鲁茨(Strutz)^[11]首先将热解装置同气-液层析柱直接结合起来。他们将约5毫克的丙烯酸酯与甲基丙烯酸酯聚合物样品置于金属小圈上，并将此小圈浸在500°C的伍德氏(Woods)合金浴中30秒钟。热解产物被载气直接带入柱温100°C，二米长的含邻苯二甲酸二癸酯的层析柱中，获得了对每个聚合物具有特征性的层析图。在上述条件下，丙烯酸酯聚合物降解为单体、短链醇类及各种碎片的混合物(见图1)；甲基丙烯酸甲酯、乙酯及正丁酯聚合物则首先降解为各自的单体。将样品涂在气-液层析柱进口处的热丝上进行分解的方法，也曾用来分析这些聚甲基丙烯酸酯类，并借滞留体积来鉴定其所形成的单体^[12]。

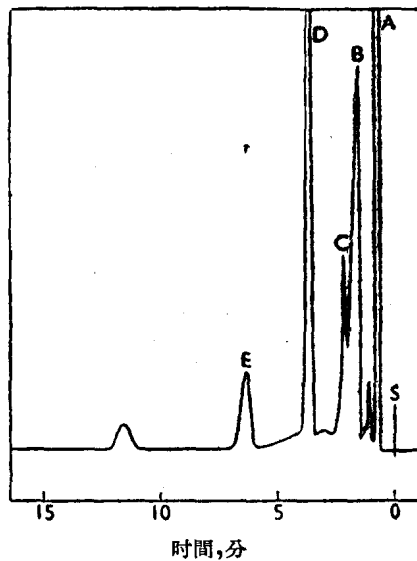


图1 聚甲基丙烯酸酯热解层析图^[11]
S, 选样; A, 空气; B, 甲醇; C, 乙醇; D, 丙烯酸甲酯; E, 甲基丙烯酸甲酯

共聚物的组成

共聚物组成的测定，是把样品涂在或者放在可以迅速加热到某一特定温度并保持一短时间的丝上。样品在此特定温度下降解，然后从各别单体特征的层析图1中测量出某些峰来定出共聚物的组成。

用这方法，曾从氯化氢及醋酸的馏出峰来分析氯乙稀-醋酸乙烯酯共聚物的组成^[13]。同样，通过记录下来的甲基丙烯酸甲酯单体、甲醇+丙烯酸甲酯单体的峰高与已知组成样品在热解时所得单体峰高的比较，也曾测定了甲基丙烯酸甲酯与丙烯酸甲酯共聚物的组成^[14]。图2是这种定量工作中所得出的典型校正曲线。此法测定共聚物组成的精确度为±0.5%。

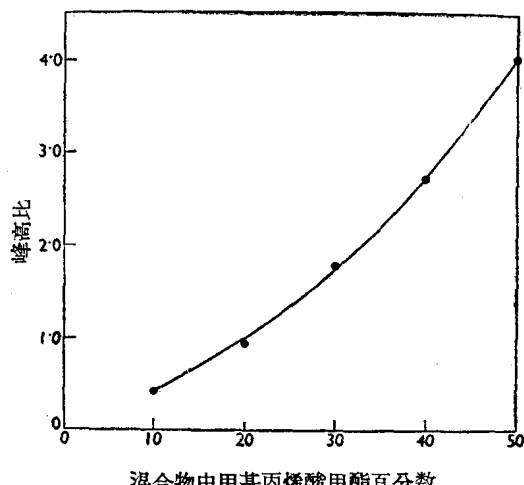


图2 Strassberger, Brauer, Tryon 与 Forzati^[14]得到的曲线——一系列聚合物混合物中甲醇+丙烯酸甲酯与甲基丙烯酸甲酯峰高比的曲线

聚合物裂解机理

莱尔(Lehrle)和罗勃(Robb)^{[15][16]}曾用螺旋式热丝技术进行聚合物裂解机理的更基本的研究。他们将同一样品在1,000°C以内一系列温度中的每一温度下，保持几秒钟，然后从记录下来的热降解产物的层析图来进行研究。测量每一温度下的有关各种热降解产物的相对比例，可以了解整个温度范围内各种不同降解反应的重要性。这方法指出，聚醋酸乙烯酯降解反应的主要过程是在中间温度时产生醋酸，而且所形成的聚乙炔骨架非常稳定，只有在最高温度下才会降解。

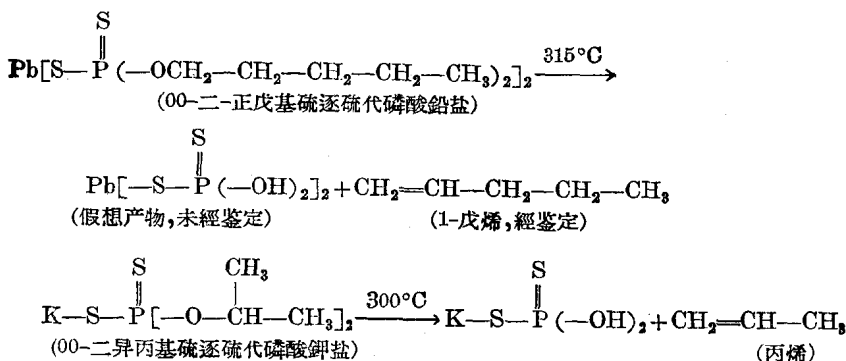
测量特定温度下单体产生的速度，就可以测出各种解聚过程中的降解速度与活化能。从此法所测得这些降解速度之间的差异，有可能区分无规共聚物与嵌段共聚物^[15]。

聚合物以外化合物的鉴定

杨纳克(Janák)^[18,17]曾指出，样品放在气-液层析柱进口气流中热丝上进行热解的方法，有可能用于各种巴比土酸、植物油(例如，橄榄油、亚麻子油、蓖麻油及椰子油)、氨基酸类及生物碱类的鉴定。未

知物的鉴定，通常采用与已知組成物质热解后记录下来的层析图对比的方法。他用一例說明此分析技术应用的可能性：一个小孩不幸誤吃了一种未知性质的药片。他們采用热解气-液层析方法，来檢驗小孩小便的醣萃液，得到与 5, 5-二乙基巴比土酸几乎完全相同的层析图（見图 3）。从而断定这小孩是誤吃了安眠药佛罗那药片。

加入石油中的某些化合物，如某些有机磷酸盐及有机硫化磷酸盐，由于它們的化学活性，耐水解性以及热不稳定性，使常用的方法难以鉴定出他們的结构。李蓋特 (Legate) 和伯罕 (Bernham)^[18]曾描述了如何使热解产物的气-液层析可以成功地用于鉴定这些化合物中的有机基团。直接与层析柱連接的热解装置，包括一个填有玻璃棉的不銹鋼管，并在炉子内加热。下面是他們得到的热解反应类型的二个例子：



单靠热解气-液层析不能区别正丙基与异丙基，故需从 C₃-硫逐硫代磷酸盐 (C₃-thionothiophosphate) 的红外光譜來証明异构构型的存在。

最近发表了不同的技术^[19]，用一个盛活性氧化鋁上面載鋁的小加热反应室以代替热解管。将含硫化合物放入这反应室里脱硫，其所形成的碳氢化合物碎片，可从滞留体积或收集餾份用质譜进行鉴定。从碎片的鉴定有可能达到鉴定原来含硫化合物的目的。

仪 器

迄今为止，我們的工作主要着重在以热解法作为聚合物的鉴定方法。热解过程是在图 4 所示的玻璃热解裝置內进行。它是与层析柱直接相連的，对于固体和液体样品均能方便地操作。固体样品用帶有鐵芯的毛細管送入，热解完毕后，毛細管可用磁鐵吸出。液体样品用注射器經由橡皮血清瓶盖注入。

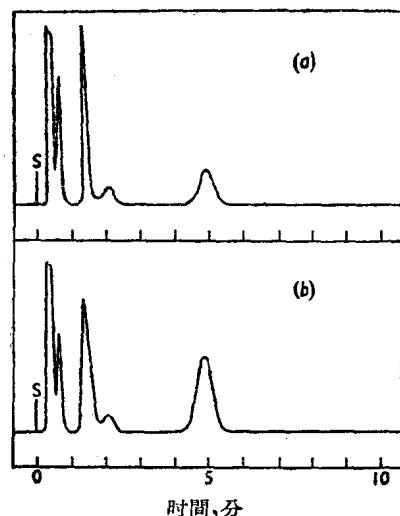


图 3 Janak^[17]得到的关于小便中二乙基巴比土酸 (佛罗那) 鉴定的层析譜：(a) 标准佛罗那样品；(b) 小便的醣萃液，S，进样

热解器用繞在管外的綫圈通电加热，管內温度用热电偶測量。在层析柱前面，裝有几厘米的填充物以防止层析柱被热解时生成的焦油状物所沾污。热解装置能方便地从层析柱上拆下以便清洗，或者与不同长度或含有不同填充的另一层析柱相連接。层析柱通常裝以 26% (重量比) 桂酮脂 (E 301) 浸漬过的 52~60 篩孔 Sil-o-cel 火磚粉，采用两种柱长，6 呎或 12 呎。以热导池为鉴定器，出口处連接一岐管和冷阱系統^[20]，以便回收餾份供进一步檢驗。以氮气为載气，在所用正常流速下，气化了的物质在热解室內的停留時間約 1 秒钟。

聚合物分析結果

我們曾用上述仪器檢驗了好几种參比聚合物。热解室的温度通常保持在 378°C。在此温度不会分解的物质都能在 435°C 下成功地分解。样品用量約 10 毫克。

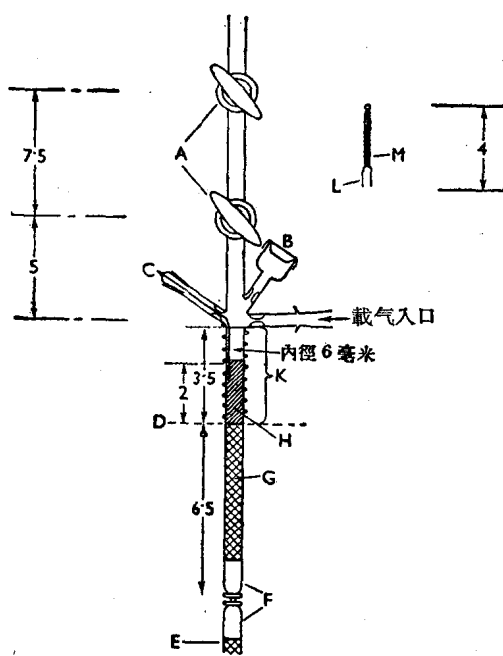


图4 热解装置及进样系統(单位厘米)

A = 活塞(特大孔徑)
 B = 血清瓶蓋
 C = 热电偶进口
 D = 层析炉上端高度線
 E = 层析柱的頂端
 F = 玻璃与金属封接处
 G = 固定相层
 H = 松墊的玻璃棉层
 K = 加热了的热解区
 L = 固体进样的毛細管
 M = 铁芯

通常，所有被檢驗物质都給出，具有足够特征性的热解层析图以适用于鉴定目的。对于一些物质，如聚异丁烯与聚苯乙烯，它们的单体都是唯一的产物（見图5）。所研究的甲基丙烯酸酯聚合物则降解为烯烃，它与原先形成甲基丙烯酸酯的醇类相对应。从 C_{18} 、 C_{16} 、 C_{14} 、 C_{12} 与 C_4 甲基丙烯酸酯共聚物所得层析图，如图6所示；这共聚物曾事先用水解法分析，然后回收其中醇类成分进行鉴定。直接热解法是鉴定这些醇类的一种相当快速的方法。

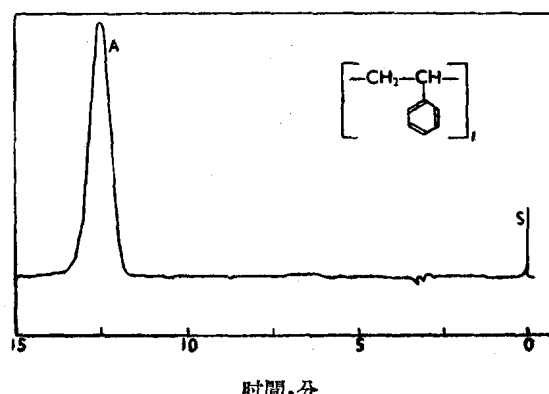


图5 聚苯乙烯的热解层析譜圖: S, 进样; A, 苯乙烯
 热解温度, 378°C; 柱长, 6 呎; 25% w/w 硅酮脂
 E 301 浸漬过的 52~60 篩孔火磚; 柱温, 105°C;
 热导池温度, 60°; 载气(N_2)流速, 2.9 升/小时

在 378°C，丙烯酸酯聚合物給出一定量的单体并混有原先形成丙烯酸酯的醇类及与之相对应的烯烃。聚丙烯酸正丁酯的层析图如图7所示（与雷德尔和史特魯茲結果比較，見图1）。

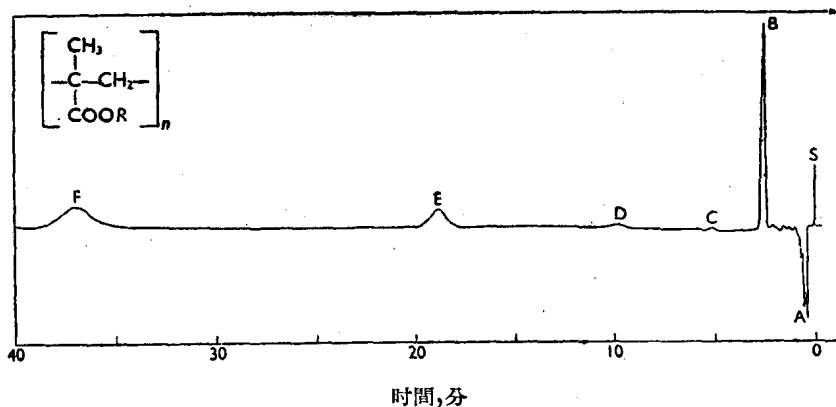


图6 C_{18} , C_{16} , C_{14} , C_{12} 与 C_4 甲基丙烯酸酯共聚物的热解层析譜圖: S, 进样; A, 丁烯;
 B, 正庚烷(溶剂); C, C_{12} 烯; D, C_{14} 烯; E, C_{16} 烯; F, C_{18} 烯; 热解温度, 438°C;
 柱同图5; 柱温, 210°C; 热导池温度, 160°C, 载气(N_2)流速, 1.6 升/小时

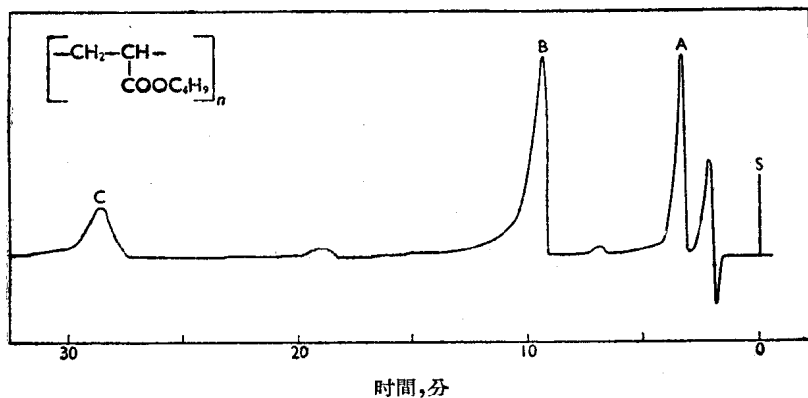


图 7 聚丙烯酸正丁酯热解气相层析图: S, 进样; A, 丁烯; B, 丁醇; C, 单体; 热解温度, 378°C; 柱同图 5; 柱长, 12 呎; 柱温, 150°C; 热导池温度, 60°C; 载气(N_2)流速, 1.4 升/小时

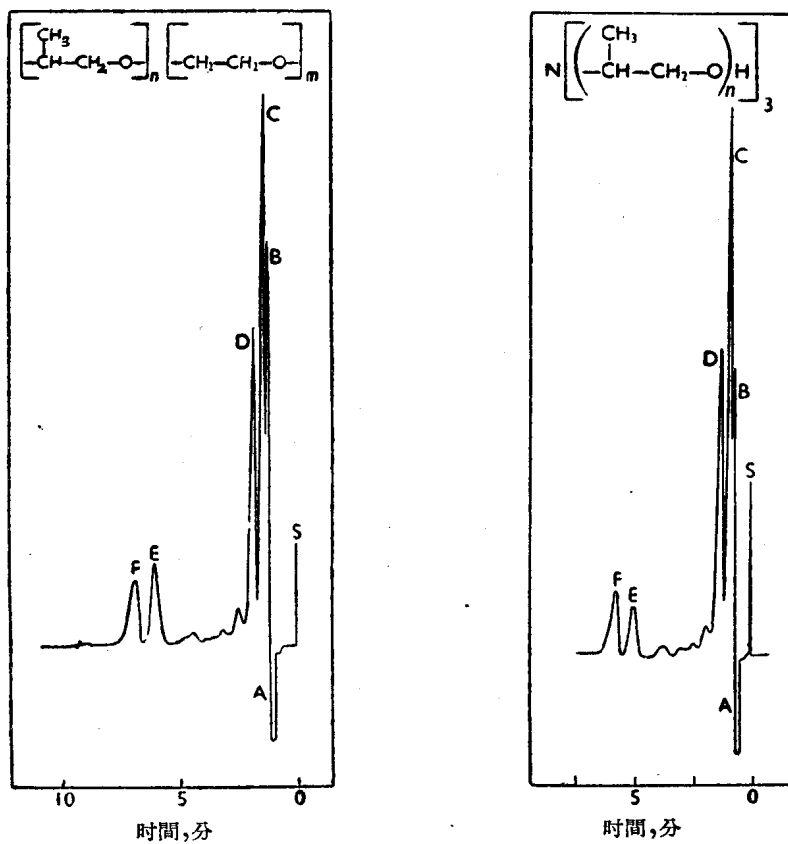


图 8 与图 9 氧化丙烯—氧化乙烯聚合物热解层析图(图 8); 含氮氧化丙烯聚合物热解层析图(图 9); S, 进样; A, 乙烯; B, 丙烯; C, 乙醛; D, 丙醛; 热解温度, 378°C; 柱同图 5; 柱温, 102°C, 热导池温度, 60°C; 载气(N_2)流速, 2.9 升/小时。

許多氧化丙烯—氧化乙烯的聚合物, 經熱解處理後, 也給出明顯的層析圖, 圖 8 是個例子。這種類型的含氮聚合物給出非常近似的層析圖(見圖 9)。但各峰間相對比例的不同, 足夠使它與氧化丙烯—氧化乙烯聚合物區別出來。

聚醋酸乙烯酯是被研究的另一類型聚合物, 為了使它降解, 必須採用較高的熱解溫度。所得層析圖(見圖 10)顯示一個“拖尾”峰, 表明是一個極性化物(可能是醋酸)。

(下轉第 28 頁)

3. 用气体层析法分析微量杂质

Анализ микропримесей методом газовой хроматографии

М. С. Вигдергальд 等

1. 引言

气体层析法广泛的和多方面的发展使我們特別有必要来討論一下此法在分析方面的情况。首先，此法可用来测定組分含量相近的复杂混合物的成分，其次，可用以分析不同系統中极少量杂质的含量。

随着聚合材料生产的广泛发展，后一任务的解决具有特別重大的意义，因为合成聚合材料需要高純度的单体。甚至在单体内存在某些痕量的物质就显然要破坏聚合条件，或者使所得聚合材料的质量降低。

如果說在分析复杂混合物时，結果的高度正确性是方法的基本要求，那么在测定微量杂质时，方法的灵敏度起着最主要的作用。

目前，一般商品气体层析仪，如不用特別專門的裝置，其可以分析在試样內的濃度为千分之几的組分。所以，以下我們所謂的微量杂质乃是在样品內含有十万分之几或比这更少的組分。

本文将討論微量杂质的色层分析法，也是本文作者之一^[1] 业已发表著作的繼續，在該著作內已討論了复杂有机系統的色层分析問題。

2. 色层分析微量杂质的特点

分离指标：表示色层峰分离度的常用指标为：

$$K = \frac{l_{(2)} - l_{(1)}}{\mu_{(1)} + \mu_{(2)}} \quad (1)$$

这里， $l_{(2)} - l_{(1)}$ ——层析图上峰頂間的距离。

μ ——峰寬，即为在一定高度的馏出曲線上点与点之間的距离，該一定高度为最高峰 h 的一定部分^[2]。例如，在高度 $0.5h$ 处测得的是半宽度 $\mu_{0.5}$ ， μ_0 即于高度 $\frac{1}{e}h$ 处测得的峰寬。

曾指出^[3]，該指标只是对于有良好分离，及在分

析样品中濃度很接近的組分是完全适用的 ($\varphi \approx 1$, φ 为邻近峰高之比)。在分析濃度相差很大的物质时，較大峰的峰寬与杂质峰寬应在同等的峰高度处測得。如是：

$$K = \frac{l_{(2)} - l_{(1)}}{\mu_{(1)} \sqrt{\ln \varphi + 1} + \mu_{(2)}} \quad (2)$$

这里，指数(1)系指基本組分，而(2)是指杂质。

这样的处理是餾分純度分数更为自然的表示，因为当餾出峰之間分离很不好时，根据方程(1)計算，对很大的 φ 值，可得出 $K = 1$ 。

可以表明，为了使两个差不多相等的峰能够清晰的分离 ($K = 1$)，吸附层的必需长度为：

$$L = 44.36 \frac{\left(\frac{x}{x_1} + \Gamma\right)^2}{4\Gamma^2} \frac{Dx}{\alpha} \quad (3)$$

这里， 4Γ ——第一个 (Γ_1) 和第二个 (Γ_2) 組分的分配系数間的差值， Γ ——上述系数的平均值， x ——柱的空体积部分， x_1 ——液相占据的体积部分， α ——載气的線速度， D ——纵向扩散的有效系数。因子 44.36 表明在計算时运用了峰的半寬度。

在分析微量杂质时，要获得全分离，柱长 L 应为：

$$L = 11.09 \left[\frac{\left(\frac{x}{x_1} + \Gamma_2\right) + \left(\frac{x}{x_1} + \Gamma_1\right) \sqrt{1 + \ln \varphi}}{4\Gamma} \right]^2 \frac{Dx}{\alpha} \quad (4)$$

因此，为了分离杂质需要有很大的柱长，或者較高选择性的吸附剂。

但在很多情况下，不能获得完全的分离，也不可能测得 $\mu_{(2)0.5}$ 值（更不必讲 $\mu_{(2)0}$ ）。所以，曾引入了用来表示相互交蓋峰的全分离指标，例如，指标 θ ^[4] 可从下列关系求得：

$$\theta = \frac{f}{g} \cdot 100 \quad (5)$$

这里， f 和 g ——图 1 指出的截綫長度。 $[f$ ——从

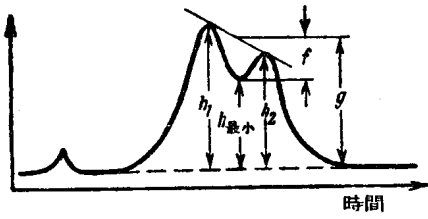


图1 非全分离时层析峰的参数

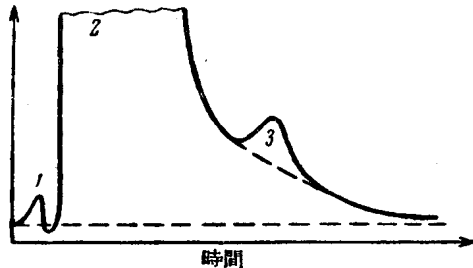


图2 非全分离时杂质峰面积的测定
1—空气；2—主组分；3—杂质

最低点与最高点连接线的相交点之间的垂直距离(垂直于基线)。 $g = f + h_{\text{最低}}$ 。

但是在分析微量杂质时，并不是在任何时候都可测得主组分峰的峰高，这就无法计算全分离指标，在这种情况下，显然，应用下列指标比较合理。

$$\psi = \frac{h_2 - h_{\text{最低}}}{h_2} \quad (6)$$

甚至当主组分的峰大大地超过杂质峰，并且即使在相应地改变比例尺度(图2)的情况下，主组分的峰在层析图上也不变小，此时， ψ 仍可以代表分离度。

可是必须估计到，在分离微量杂质时，一般采用较大体积的样品，所以分离指标不仅是实验条件的函数，并应是样品量的函数。显然，应该说，在运用不同样品时最合理的指标是 ψ 与样品体积函数的乘积。

样品量 一般用于气体层析的样品量，液体为0.5微升~0.1毫升，气体为0.1~20毫升。样品体积超过一定量时，不仅导致峰高的增长，而且使峰宽增大，这就引起邻近组分峰的相互交盖，Van Deemter, Zuiderweg 和 Klinkenberg^[6]曾测定了容许进样量 v_n ，这时峰宽不是被分离物质体积的函数， v_n 是理论塔板的有效体积与柱的塔板数平方根的乘积的二分之一。用我们的术语讲，这具有下列形式：

$$v_n \leq 0.5 \frac{L \cdot s}{\sqrt{n}} (\alpha + \Gamma_{n1}) \quad (7)$$

这里， s —柱的截面积， n —理论塔板数，经过基本换算，可以证明：

$$v_n \ll \frac{\omega_{0.5}}{4.7} \quad (8)$$

和

$$C_{\text{最高}} \leq \frac{C_n}{5} \quad (9)$$

这里 $\omega_{0.5}$ —峰的半宽度(以载气的毫升数表示)， C_n —样品内组分的浓度， $C_{\text{最高}}$ —馏出峰最高值时组分的浓度。

由上述关系可以看到，分析强吸附性的组分时，可以比分析弱吸附性物质时，进入较多的样品。此外，样品量可随截面积及柱长平方根的增长而增加。

Klinkenberg^[6]曾指出，除了样品体积造成的柱超负载以外(用方程式(7)表示，并用包括载气在内的已蒸发样品的体积来测定)，还可能由样品量引起的超负载发生(即不包括载气在内的已蒸发样品的体积)。在后一情况下，样品的许可量可用方程(7)算出，这时，把因子0.5换成0.02。

有时，柱的某些超负载可能提高方法的灵敏度，而不降低分离度。柱长增加四倍时，样品的许可量增加一倍，同时峰宽和峰的分离度也增加一倍。而最高值时的组分浓度保持不变。因此，若将组分浓度增加到最高值，而分离指标降为1时，柱的超负载是完全可以许可的。

现在，Жуховицкий 和 Туркельтау^[7]已研究成功的台阶色层法，就是等于运用大量的样品和得到台阶式的洗提曲线，其高度代表被分析组分的浓度。

若分析时间为已知，当内扩散传质具有决定作用时，峰宽与载气的流速成正比。由于

$$\mu_{0.5} = 3.33 (\alpha + \Gamma_{n1}) \sqrt{\frac{DL_s}{\alpha}} \quad (10)$$

$2 \frac{D_s}{\alpha}$ 用 C_α 值，和 L 用 $\frac{t_\alpha}{\alpha + \Gamma_{n1}}$ 代入，可得出 $\mu \sim \alpha$ ，这里 t —分析时间， C —表示内扩散传质项。这意味着，速度增加时(还有吸附层长度的增加)，大量的样品是许可的。如果样品量与速度成正比例地增长，那么，样品的展开同样与速度成正比，峰最高值时的组分浓度将保持不变。因为在层析图上，峰宽与时间成正比，则峰面积和峰与峰之间的分离指标不变。因而，在分析时间已知的情况下，柱超负载会导致分离质量的降低。

杂质的浓缩 把组分浓度为 C_n 的样品引入层析柱时，由于吸附作用，样品体积随浓度相应的增加而减少 $\Gamma_0 = \alpha - \Gamma_{n1}$ 倍。在洗提过程中，由于层析谱带的展开，在峰的最高值时，组分的浓度 $C_{\text{最高}}$ 与吸附

层长度(没有超负载时)的平方根成反比例地降低,并且在柱的出口处等于

$$C_{\text{最高}} = p \frac{C_n \Gamma_0}{\sqrt{L}} \quad (11)$$

这里, p —比例系数。由于样品从柱内解吸的结果,峰加宽 Γ_0 倍,浓度也相应降低,因此

$$C_{\text{最高}} = p \frac{C_n}{\sqrt{L}} \quad (12)$$

在分析杂质时,当 $C_{\text{最高}}$ 值随着 L 慢慢减少,即使样品使柱有超负载,所得到的浓度也常常难以测出,所以,要运用各种方法来浓缩杂质。例如,最好是选用对主组分的吸附作用比杂质强得多($\Gamma_0^1 > \Gamma_0$)的物质为柱的填充剂。在这种情况下,样品进入柱中时压缩 Γ_0^1 倍,与其主组分一样,浓度有了相应的提高,这时,杂质的 $C_{\text{最高}}$ 值在洗提以后等于

$$C_{\text{最高}} = p \frac{C_n \Gamma_0^1}{\sqrt{L \Gamma_0}} \quad (13)$$

此法曾被作者之一^[8]用来分析乙烯中低沸点杂质。

高沸点杂质可以借低温(T_1)时的吸附作用进行测定,结果是馏出峰浓缩 $\Gamma_0(T_1)$ 倍,在主组分馏出后,在较高温度(T_2)下进行色层分离。这时,在馏出物中,浓度提高了 $\Gamma_0(T_1)/\Gamma_0(T_2)$ 倍,这种低温吸附作用可以在柱前,也可直接在柱上发生。

在一系列的情况下,可通过用冷阱(空的,或者填以固体或液体填料)冷凝法完全或部分地除去主组分而获得杂质的浓缩。这时,杂质浓度被提高 $\frac{1}{1+mc}$ 倍,这里, c —样品内主组分的最初浓度(几分之一), m —主组分被除去的部分。由于 φ 值的减小,主组分的除去和浓度的提高使分离度得以增加。

可以用柱前、直接在柱上或柱后的化学结合法,运用主组分作为载气或应用对主组分不灵敏的检定器可使主峰从层析图上消失。

上述方法可以得到样品杂质的一次浓缩。热色层法^[9~11]是多次浓缩法,此法实际上对各种物质的痕量测定具有无限的可能性。此外,热动力法^[12]可用于工艺流程的连续分析,在测定高沸点杂质时,可以用主组分峰在层析图上消失的方法来进行层析分离。

很自然,在分析复杂混合物中的微量杂质时,应该把上述方法与复杂系统分析方法结合起来运用。

色层谱的定量解释 分析杂质时得到的层析图谱的定量解释之基本特点,在于,在大多数情况下,只可能运用绝对校正法(根据实验求得的杂质含量与

杂质峰参数相应值之间的关系来进行计算)。

内部标准法未必能广泛采用,因为此法必须系统配制组分浓度小的标准混合物,而内部归一法,即使在层析谱上主峰完全被记录下来,也只有非常小的正确性。

在馏出峰足够完全分离的情况下,峰高 h 可作为基本参数,在部分分离的情况下,峰面积是浓度的量度,在测定面积时,人为地以主组分空白峰曲线的延续作为基线(图 2)^[13]。

3. 用大量样品分析微量杂质

大量样品的等温分离 如上所述,在一系列情况下,样品对柱的超负载可以提高方法的灵敏度,因此,很多作者为了分析微量杂质,直接向层析柱引入大量的样品,并在等温条件下进行洗提。Pietsch^[14]、^[15]关于在工业乙烯和纯乙烯中测定氧、一氧化碳、氮和低沸点烃的工作,是这方面早期工作之一。采用一般的热导池作为检定器,在不少情况下,甚至可用带碱液的氮素计作为检定器。

有关大量样品等温分离方面工作的基本数据列于表 1。从这些数据可以看到,在用热导池时,增加样品量可以使灵敏度达到 $10^{-4}\%$ 。这个灵敏度能解决一系列实际问题。浓度再低时,即使大大地增加样品量,热导池也不能指示出杂质。

分离有效性的降低,是分析微量杂质时使样品增加受到限制的因素之一,特别是当 φ 值大时(方程式 2),所以将主组分用作载气是非常有利的。在这样的情况下,主组分峰在层析谱上的消失,就可以得到清晰的杂质峰。这曾由 Түркельтауб^[16] 的工作所证实,这一工作似是关于色层分离微量杂质方面的首创工作。作者已研究出灵敏度为 $10^{-5}\%$ 的测定空气中甲烷和乙烷的方法。

Wilkins 和 Wilson^[17]用纯氮作为载气,分析了氮中氧、氮和其他气体杂质时,灵敏度达到 $5 \cdot 10^{-4}\%$ 。

显然,要“除去”层析图上的主组分峰,在很多情况下(用热导池),可以采用导热率接近于主组分的载气(单独的或混合的)。

主组分的除去 如果说上述方法只是稍为提高了馏出峰分离的清晰度,那么若把主组分从分析样品中真正除去,就可大大地减小分析样品体积,从而浓缩样品中存在着的杂质。这里,除了 φ 值减小以外,峰也压缩了,因而提高了仪器的灵敏度。

Ray^[25, 26]在其著名的工作中,浓缩了乙烯中的